ШАМАНАЕВ П. А., КАРЧИГАНОВ А. Ф.

ИССЛЕДОВАНИЕ ВЫНУЖДЕННЫХ КОЛЕБАНИЙ ОДНОЙ ЛИНЕЙНОЙ СИСТЕМЫ ДВУХ СВЯЗАННЫХ ОСЦИЛЛЯТОРОВ С МАЛЫМ ПАРАМЕТРОМ

Аннотация. В работе реализован алгоритм нахождения периодических решений одной линейной системы двух связанных осцилляторов с малым параметром на основе метода Ляпунова-Шмидта. Рассмотрены случаи, когда частота вынужденных колебаний совпадает с одной из частот собственных колебаний. Построены графики периодических решений и фазовых траекторий системы двух связанных осцилляторов.

Ключевые слова: система двух связанных осцилляторов, малый параметр, колебания, метод Ляпунова-Шмидта, резонанс.

SHAMANAEV P. A., KARCHIGANOV A. F. INVESTIGATION OF FORCED OSCILLATIONS OF A LINEAR SYSTEM OF TWO COUPLED OSCILLATORS WITH A SMALL PARAMETER

Abstract. The article is devoted to the description of the development of an algorithm for finding periodic solutions of one linear system of two coupled oscillators with a small parameter based on the Lyapunov-Schmidt method. The cases when the frequency of forced oscillations coincides with one of the natural oscillation frequencies are considered. Graphs of periodic solutions and phase trajectories of a system of two coupled oscillators have been constructed.

Keywords: system of two coupled oscillators, small parameter, oscillations, Lyapunov-Schmidt method, resonance.

Введение. Основные подходы метода Ляпунова-Шмидта нахождения решений нелинейных дифференциальных уравнений с малым параметром в банаховом пространстве изложены в работах [1; 2]. Для линейных дифференциальных уравнений с малым параметром в банаховом пространстве задача нахождения периодических решений методом Ляпунова-Шмидта рассматривалась в работах [3–5]. В работе [6] методом Ляпунова-Шмидта построено периодическое решение для одного класса линейных неоднородных систем обыкновенных дифференциальных уравнений с малым линейным возмущением. В настоящей работе на основании результатов работы [5] методом Ляпунова-Шмидта построено периодическое решение одной линейной системы двух связанных осцилляторов с малым параметром в резонансном случае.

Математическая модель системы двух связанных осцилляторов с малым параметром. Рассмотрим математическую модель вынужденных колебаний двух связанных осцилляторов [7] с малым параметром

$$m_1\ddot{q}_1 + (c_{11} + \varepsilon d_{11})q_1 + (c_{12} + \varepsilon d_{12})q_2 = F_1(t),$$

$$m_2\ddot{q}_2 + (c_{12} + \varepsilon d_{12})q_1 + (c_{22} + \varepsilon d_{22})q_2 = F_2(t),$$
(1)

где q_1 и q_2 — обобщенные координаты системы двух связанных осцилляторов; ε — малый вещественный параметр; $F_1(t)$, $F_2(t)$ — внешние силы, изменяющиеся по закону

$$F_1(t) = r_1 \sin(\omega t + \theta_1), \quad F_2(t) = r_2 \sin(\omega t + \theta_2),$$

здесь $r_1 > 0, r_2 > 0, \theta_1, \theta_2, \omega \in R$.

Будем предполагать, что для параметров m_i , c_{ij} , $d_{ij} \in R$, $i \le j$, i,j = 1,2, системы (1) и достаточно малого ε справедливы неравенства

$$m_i > 0$$
, $c_{11} + \varepsilon d_{11} > 0$, $(c_{11} + \varepsilon d_{11})(c_{22} + \varepsilon d_{22}) - (c_{12} + \varepsilon d_{12})^2 > 0$.

Выполняя замену координат

$$\begin{cases} x_1 = q_1 \\ x_3 = q_2 \end{cases} \Rightarrow \begin{cases} x_2 = \dot{x_1} = \dot{q_1} \\ x_4 = \dot{x_3} = \dot{q_2} \end{cases}$$

в системе (1), запишем ее в векторной форме

$$A\frac{dx}{dt} = (B_0 - \varepsilon B_1)x - f(t), \tag{2}$$

где $x = colon(x_1, x_2, x_3, x_4)$,

$$A = \begin{pmatrix} 1 & 0 & 0 & 0 \\ 0 & m_1 & 0 & 0 \\ 0 & 0 & 1 & 0 \\ 0 & 0 & 0 & m_2 \end{pmatrix}, \qquad B_0 = -\begin{pmatrix} 0 & -1 & 0 & 0 \\ c_{11} & 0 & c_{12} & 0 \\ 0 & 0 & 0 & -1 \\ c_{12} & 0 & c_{22} & 0 \end{pmatrix},$$

$$B_1 = \begin{pmatrix} 0 & 0 & 0 & 0 \\ d_{11} & 0 & d_{1,2} & 0 \\ 0 & 0 & 0 & 0 \\ d_{12} & 0 & d_{22} & 0 \end{pmatrix}, \qquad f(t) = -\begin{pmatrix} 0 \\ r_1 \sin(\omega t + \theta_1) \\ 0 \\ r_2 \sin(\omega t + \theta_2) \end{pmatrix}.$$

На основании результатов работы [5] исследуем вынужденные колебания системы (2) в математическом пакете Maple при следующих значениях параметров

$$m_1=m_2=1$$
, $c_{11}=c_{22}=5$, $c_{12}=4$, $d_{11}=-2$, $d_{22}=2$, $d_{12}=0$.

При выбранных значениях параметров матрица B_0 имеет следующие собственные значения

$$\lambda_{1,2} = \pm i, \qquad \lambda_{3,4} = \pm 3i.$$

Тогда возможны два случая возникновения резонанса: 1) $\omega=1$; 2) $\omega=3$. Следовательно, согласно [5], в случае 1) $T=2\pi$, $\alpha_1=1$, $\alpha_2=3$, а в случае 2) $T=\frac{2\pi}{3}$, $\alpha_1=3$.

Ставится задача [1]: при достаточно малых вещественных ε найти T-периодические решения $x(t,\varepsilon)$ уравнения (2), удовлетворяющее условию x(t,0)=z(t), где z(t) является T-периодическим решением уравнения

$$A\frac{dz}{dt} = B_0 z - f(t). (3)$$

В дальнейшем систему (2) будем называть возмущенной системой, а систему (3) - невозмущенной системой.

Обобщенные жордановы наборы, удовлетворяющие условию биортогональности.

Элементы $\varphi_k^{(j)}$, $\psi_k^{(j)}$, $k=\overline{1,n}, j=\overline{1,p_k}$ обобщенных жордановых цепочек оператора

$$\mathcal{B}_0 \equiv B_0 - A \frac{d}{dt}$$

и его сопряженного

$$\mathcal{B}_0^* \equiv B_0^* + A^* \frac{d}{dt}$$

определяются по формулам [5]

$$\mathcal{B}_{0}\varphi_{k}^{(1)} = 0, \qquad \mathcal{B}_{0}\varphi_{k}^{(j)} = B_{1}\varphi_{k}^{(j-1)}, \qquad j = \overline{2, p_{k}},
\mathcal{B}_{0}^{*}\psi_{s}^{(1)} = 0, \qquad \mathcal{B}_{0}^{*}\psi_{s}^{(l)} = B_{1}^{*}\psi_{s}^{(l-1)}, \qquad l = \overline{2, p_{s}},
k, s = \overline{1, n},$$
(4)

где B_1^* – матрица, сопряженная к B_1 .

Полагая

$$\varphi_k^{(j)} = v_k^{(j)} e^{\lambda t}, \qquad \psi_s^{(l)} = u_s^{(l)} e^{\lambda t},$$

где $v_k^{(j)}$, $u_s^{(l)} \in \mathcal{C}^4$ из формул (4) вычислим

1) в случае $\omega=1$: $n=2,\,p_1=p_2=2,\,$

$$\varphi_{1}^{(1)} = e^{3it} \begin{pmatrix} \frac{i}{3} \\ -1 \\ -\frac{i}{3} \\ 1 \end{pmatrix}, \ \varphi_{1}^{(2)} = e^{3it} \begin{pmatrix} -\frac{i}{6} \\ -\frac{1}{2} \\ 0 \\ 0 \end{pmatrix}, \ \varphi_{2}^{(1)} = e^{it} \begin{pmatrix} -i \\ 1 \\ -i \\ 1 \end{pmatrix}, \ \varphi_{2}^{(2)} = e^{it} \begin{pmatrix} -\frac{i}{2} \\ \frac{1}{2} \\ 0 \\ 0 \end{pmatrix},$$

$$\psi_{1}^{(1)} = e^{3it} \begin{pmatrix} 9 \\ 3i \\ -9 \\ -3i \end{pmatrix}, \ \psi_{1}^{(2)} = e^{3it} \begin{pmatrix} 0 \\ 0 \\ -\frac{9}{2} \\ -\frac{3i}{2} \end{pmatrix}, \ \psi_{2}^{(1)} = e^{it} \begin{pmatrix} 1 \\ i \\ 1 \\ i \end{pmatrix}, \ \psi_{2}^{(2)} = e^{it} \begin{pmatrix} 0 \\ 0 \\ -\frac{1}{2} \\ -\frac{i}{2} \end{pmatrix}.$$

2) в случае $\omega = 3$: n = 1, $p_1 = 2$,

$$\varphi_{1}^{(1)} = e^{3it} \begin{pmatrix} \frac{i}{3} \\ -1 \\ -\frac{i}{3} \\ 1 \end{pmatrix}, \quad \varphi_{1}^{(2)} = e^{3it} \begin{pmatrix} -\frac{i}{6} \\ -\frac{1}{2} \\ 0 \\ 0 \end{pmatrix}, \quad \psi_{1}^{(1)} = e^{3it} \begin{pmatrix} 9 \\ 3i \\ -9 \\ -3i \end{pmatrix}, \quad \psi_{1}^{(2)} = e^{3it} \begin{pmatrix} 0 \\ 0 \\ -\frac{9}{2} \\ -\frac{3i}{2} \end{pmatrix}.$$

Непосредственной проверкой убеждаемся, что обобщенные жордановы наборы в случаях 1) и 2) удовлетворяют условиям биортогональности [5]

$$\begin{split} & \ll z_k^{(j)}, \psi_s^{(l)} \gg = \delta_{ks} \delta_{jl}, & \ll \varphi_k^{(j)}, \gamma_s^{(l)} \gg = \delta_{ks} \delta_{jl}, \\ & z_k^{(j)} = B_1 \varphi_k^{(p_k + 1 - j)}, & \gamma_s^{(l)} = B_1^* \psi_s^{(p_s + 1 - l)}, \\ & j = \overline{2, p_k}, & l = \overline{2, p_s}, & k, s = \overline{1, n}. \end{split}$$

где δ_{ks} , δ_{jl} – символы Кронекера,

$$\ll z_k^{(j)}, \psi_s^{(l)} \gg = \frac{1}{T} \int_0^T \langle z_k^{(j)}(t), \psi_s^{(l)}(t) \rangle dt, \qquad \ll \varphi_k^{(j)}, \gamma_s^{(l)} \gg = \frac{1}{T} \int_0^T \langle \varphi_k^{(j)}(t), \gamma_s^{(l)}(t) \rangle dt,$$

где <:,:> — скалярное произведение векторов.

Нахождение коэффициентов в разложении искомого периодического решения по обобщенному жорданову набору. Согласно [5] вычислим коэффициенты в разложении периодического решения возмущенной системы по формуле

$$g_{kj} = \langle \langle f, \psi_k^{(j)} \rangle \rangle \equiv \frac{1}{T} \int_0^T \langle f(t), \psi_k^{(j)}(t) \rangle dt, \quad k = \overline{1, n}, j = \overline{1, p_k}.$$

Заметим, что для того, чтобы невозмущенная система (3) имела T-периодические решения необходимо и достаточно, чтобы $g_{k1}=0, k=\overline{1,n}.$

Рассмотрим случай 1) $\omega = 1$. Имеем

$$g_{11}=0$$
, $g_{12}=0$, $g_{21}=i\left(-r_1e^{i\theta_1}+r_2e^{i\theta_2}\right)$, $g_{22}=\frac{1}{4}$.

Если $-r_1e^{i\theta_1}+r_2e^{i\theta_2}=0$, то $g_{21}=0$ и система (3) имеет семейство 2π -периодических решений. В частности, это условие выполняется при $r_1=r_2=1$ и $\theta_1=\theta_2=\frac{\pi}{2}$.

Рассмотрим случай 2) $\omega = 3$. Имеем

$$g_{11} = 3i(r_1e^{i\theta_1} + r_2e^{i\theta_2}), \ g_{12} = -\frac{3i}{4}.$$

Если $\left(r_1e^{i\theta_1}+r_2e^{i\theta_2}\right)=0$, то $g_{11}=0$ и система (3) имеет семейство $\frac{2\pi}{3}$ -периодических решений. Это условие выполняется, например, при $r_1=r_2=1$, $\theta_1=0$ и $\theta_2=\pi$.

Нахождение дополнительного линейного слагаемого. Дополнительное линейное слагаемое, входящее в периодическое решение возмущенной системы и принадлежащее к дополнению корневого пространства, имеет вид

$$y(t,\varepsilon) = e^{i\omega t}b + e^{-i\omega t}\bar{b}$$

где $b \in C^4$ находится из системы линейных алгебраических уравнений

$$\begin{pmatrix}
B_0 - \varepsilon B_1 + Re(S) & \omega A - Im(S) \\
-\omega A + Im(S) & B_0 - \varepsilon B_1 + Re(S)
\end{pmatrix}
\begin{pmatrix}
Re(b) \\
Im(b)
\end{pmatrix} = \begin{pmatrix}
Re(h) \\
Im(h)
\end{pmatrix}.$$
(5)

Здесь $h=colon(0,r_1e^{i\theta_1},0,r_2e^{i\theta_2}),$ $S_-(2\times 2)$ — матрица, элементы которой вычисляются по формулам

$$S = \sum_{k=1}^{n} S_k, \qquad S_k = \frac{1}{T} \int_0^T z_k^{(1)}(t) \bar{\gamma}_k^{(1)}(t) dt,$$

$$z_k^{(1)} = B_1 \varphi_k^{(p_k)}, \qquad \gamma_k^{(1)} = B_1^* \psi_k^{(p_k)},$$

$$k = \overline{1, n}.$$

Решая систему (5) в случае $\omega = 1$, получим

$$y(t,\varepsilon) = \begin{pmatrix} -\frac{(2\varepsilon+1)\sin t}{4(\varepsilon^2 - 1)} \\ -\frac{(2\varepsilon+1)\cos t}{4(\varepsilon^2 - 1)} \\ -\frac{\varepsilon\sin t}{2(\varepsilon^2 - 1)} \\ -\frac{\varepsilon\cos t}{2(\varepsilon^2 - 1)} \end{pmatrix}, \qquad y(t,0) = \begin{pmatrix} \frac{\sin t}{4} \\ \frac{\cos t}{4} \\ 0 \\ 0 \end{pmatrix}.$$

Решая систему (5) в случае $\omega = 3$, получим

$$y(t,\varepsilon) = \begin{pmatrix} -\frac{(2\varepsilon - 1)\cos 3t}{4(\varepsilon^2 - 1)} \\ \frac{3(2\varepsilon - 1)\sin 2t}{4(\varepsilon^2 - 1)} \\ -\frac{\varepsilon\cos 3t}{2(\varepsilon^2 - 1)} \\ -\frac{3\varepsilon\sin 3t}{2(\varepsilon^2 - 1)} \end{pmatrix}, \quad y(t,0) = \begin{pmatrix} -\frac{\cos 3t}{4} \\ \frac{3\sin 3t}{4} \\ 0 \\ 0 \end{pmatrix}.$$

Периодические решения возмущенной и невозмущенной систем. С использованием математического пакета Марle методом Ляпунова-Шмидта [5] построены следующие периодические решения возмущенной и невозмущенной систем.

Единственное T-периодическое решение системы (2) имеет вид [5]

$$x(t,\varepsilon) = \sum_{k=1}^{n} \sum_{j=1}^{p_k} \frac{\varepsilon^{j-1}}{1 - \varepsilon^{p_k}} \left(\xi_{k1} \varphi_k^{(j)} + \bar{\xi}_{k1} \bar{\varphi}_k^{(j)} \right) + y(t,\varepsilon), \tag{6}$$

где ξ_{k1} определяются из равенств

$$\xi_{k1} = -\frac{1}{\varepsilon^{p_k}} (g_{k1} + g_{k2}\varepsilon + g_{k3}\varepsilon^2 + \dots + g_{kp_k}\varepsilon^{p_k-1}), \qquad k = \overline{1, n}.$$

Семейство Т-периодических решений системы (3), имеет вид [5]

$$x(t,0) \equiv z(t) = \sum_{k=1}^{2} c_k \left[\varphi_k^{(1)} + \bar{\varphi}_k^{(1)} \right] + y(t,0), \tag{7}$$

1) Случай $\omega = 1$. По формулам (6) и (7) найдем 2π -периодические решения систем (2) и (3), соответственно,

$$x(t,\varepsilon) = \begin{pmatrix} -\frac{\cos t}{2\varepsilon} \\ \frac{\sin t}{2\varepsilon} \\ \frac{\cos t}{2\varepsilon} \\ \frac{\sin t}{2\varepsilon} \end{pmatrix}, \qquad z(t) = \begin{pmatrix} \frac{2}{3}c_1\sin 3t - 2c_2\sin t + \frac{1}{4}\cos t \\ 2c_1\cos 3t - 2c_2\cos t - \frac{1}{4}\sin t \\ \frac{2}{3}c_1\sin 3t + 2c_2\sin t \\ 2c_1\cos 3t + 2c_2\cos t \end{pmatrix}.$$

2) Случай $\omega = 3$. Учитывая формулы (6) и (7), найдем $\frac{2\pi}{3}$ -периодические решения систем (2) и (3), соответственно,

$$x(t,\varepsilon) = \begin{pmatrix} -\frac{\sin 3t}{2\varepsilon} \\ -\frac{3\cos 3t}{2\varepsilon} \\ -\frac{\sin 3t}{2\varepsilon} \\ -\frac{\sin 3t}{2\varepsilon} \\ -\frac{3\sin 3t}{2\varepsilon} \end{pmatrix}, \qquad z(t) = \begin{pmatrix} \frac{2}{3}c_1\sin 3t - \frac{1}{4}\sin 3t \\ 2c_1\cos 3t - \frac{3}{4}\cos 3t \\ \frac{2}{3}c_1\sin 3t \\ 2c_1\cos 3t \end{pmatrix}.$$

Построение графиков компонент периодических решений возмущенной системы.

Учитывая, что обобщенным координатам q_1 и q_2 , соответствуют компоненты $x_1(t,\varepsilon)$ и $x_3(t,\varepsilon)$ периодического решения возмущенной системы (2), приведем графики этих компонент при различных ε в случаях 1) $\omega = 1$ и 2) $\omega = 3$.

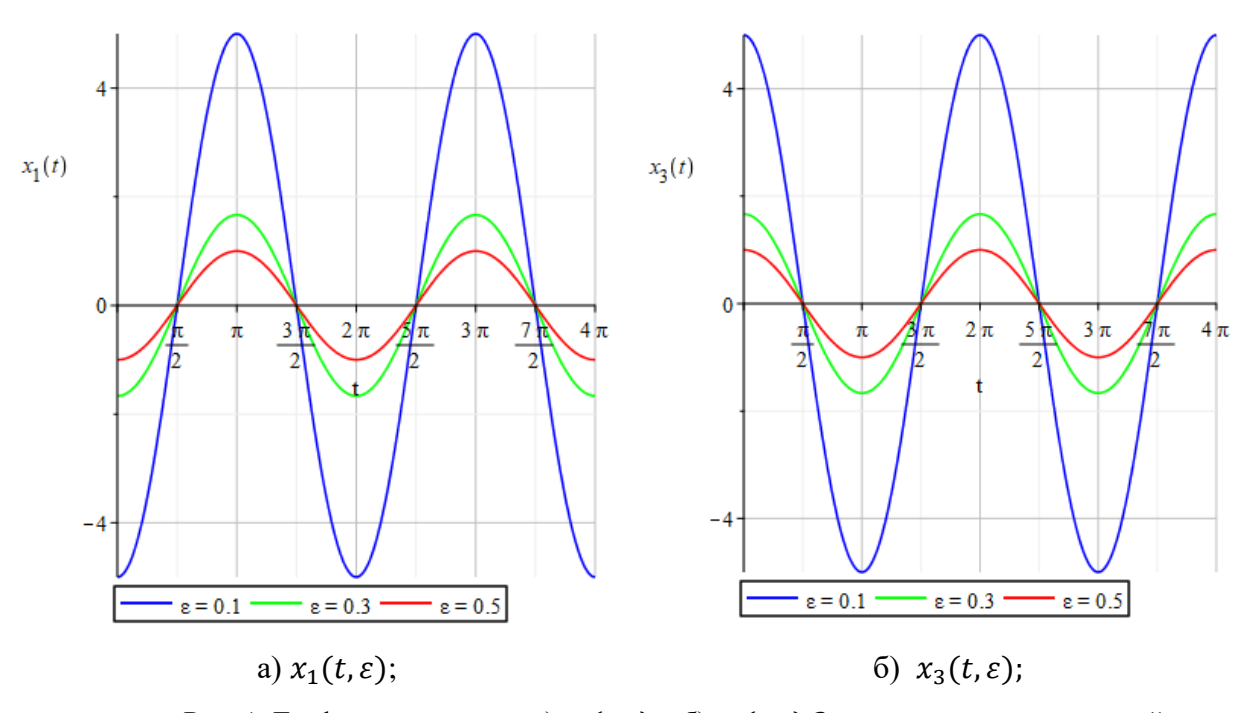


Рис. 1. Графики компонент а) $x_1(t,\varepsilon)$ и б) $x_3(t,\varepsilon)$ 2π -периодических решений системы (2) при различных ε в случае 1) $\omega=1$.

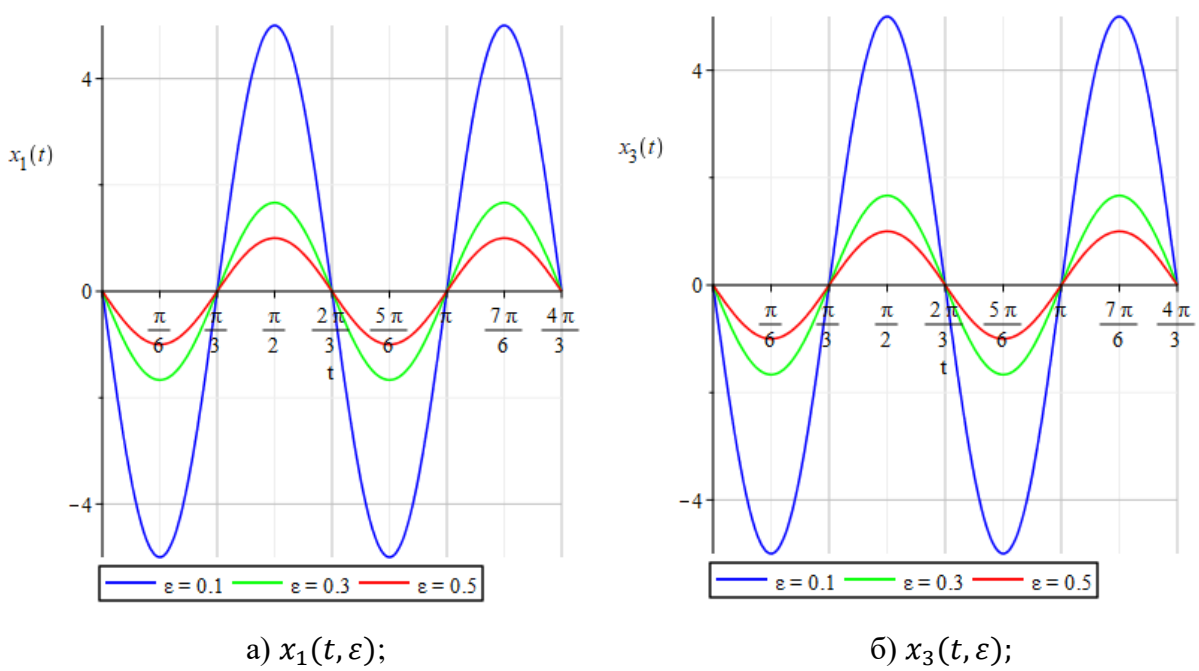


Рис. 2. Графики компонент а) $x_1(t,\varepsilon)$ и б) $x_3(t,\varepsilon)\frac{2\pi}{3}$ -периодических решений системы (2) при различных ε в случае 2) $\omega=3$.

Построение графиков проекций фазовых траекторий возмущенной и невозмущенной систем. Приведем графики проекций фазовых траекторий возмущенной и невозмущенной систем (2) и (3).

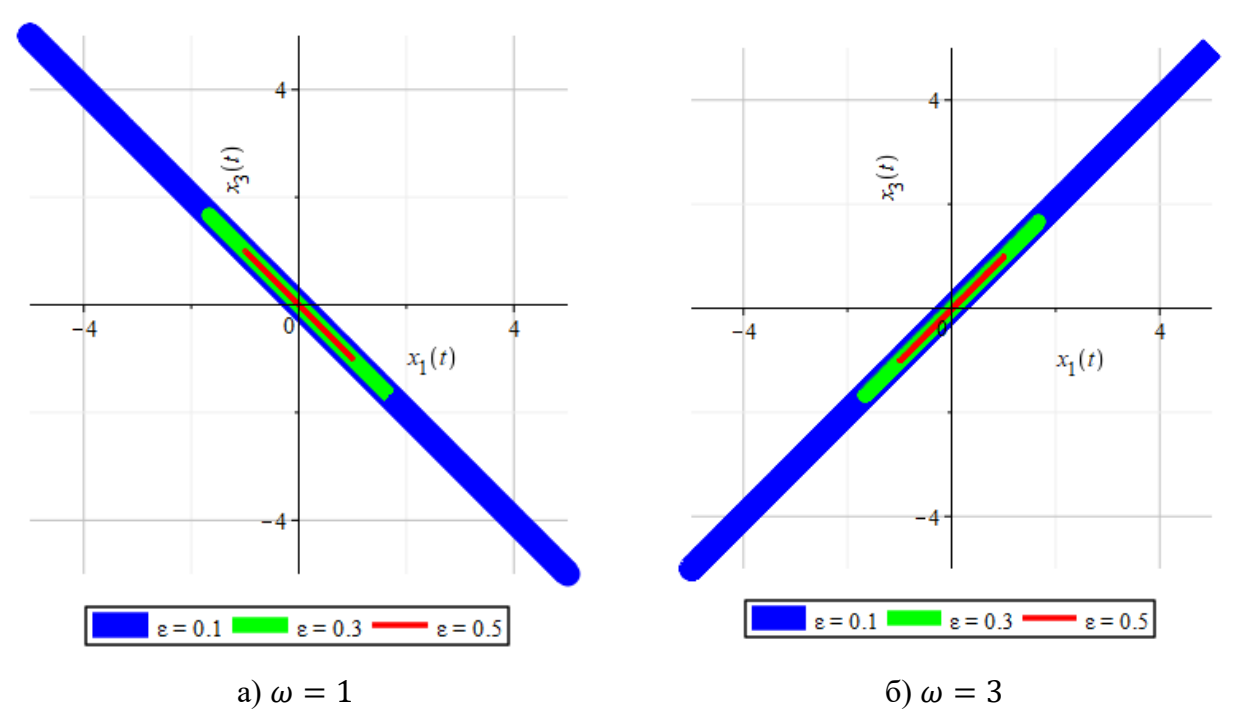


Рис. 3. Графики проекций фазовых траекторий на плоскость (x_1, x_3) возмущенной системы (2) при различных ε в случае а) $\omega=1$ и б) $\omega=3$.

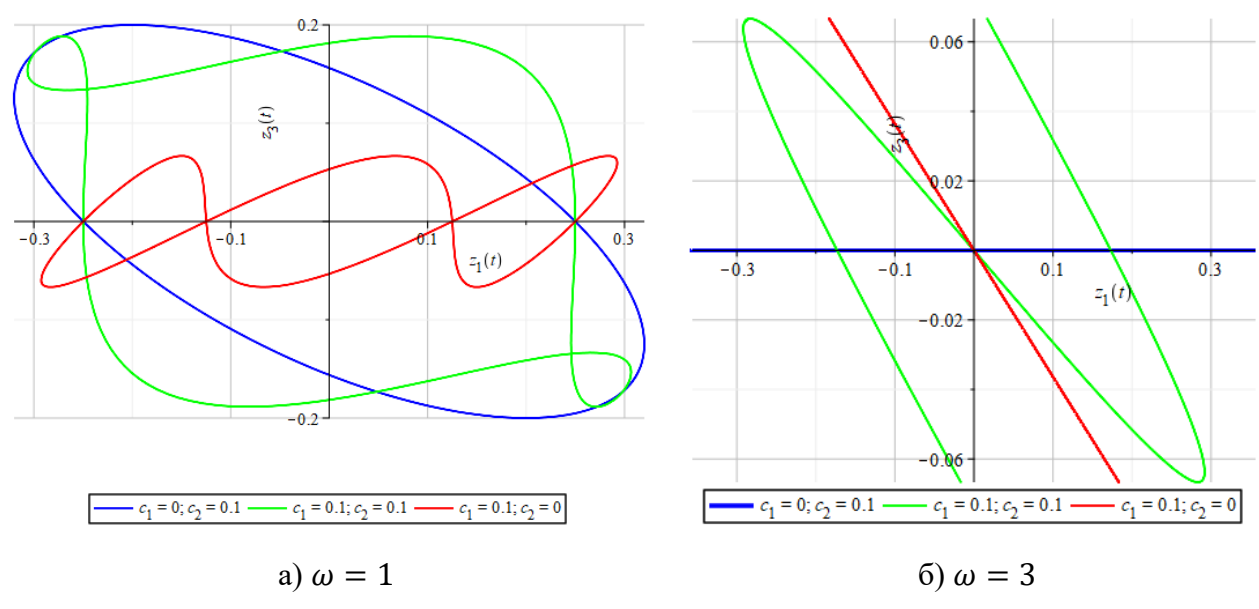


Рис 4. Графики проекций фазовых траекторий на плоскость (z_1, z_3) невозмущенной системы (3) при различных ε в случае а) $\omega=1$ и б) $\omega=3$.

Заключение. Из формул (4) и (5) следует, что периодические решения $x(t,\varepsilon)$ возмущенной системы (2) в случаях 1) $\omega = 1$ и 2) $\omega = 3$ имеют полюс первого порядка в точке $\varepsilon = 0$, и, следовательно, при $\varepsilon \to 0$ не стремятся к соответствующим решениям z(t) невозмущенной системы (3). Наличие полюса первого порядка обуславливается тем, что коэффициенты g_{22} в случае 1) $\omega = 1$ и g_{12} в случае 2) $\omega = 3$ отличны от нуля.

СПИСОК ЛИТЕРАТУРЫ

- 1. Вайнберг М. М., Треногин В. А. Теория ветвления решений нелинейных уравнений. М.: Наука. 1964. 524 с.
- 2. Коноплева И. В., Логинов Б. В. Обобщенная жорданова структура и симметрия разрешающих систем ветвления // Вестн. Самарск. ун-та. − 2001. − №4. − С. 56–84.
- 3. Кяшкин А. А., Логинов Б. В., Шаманаев П. А. Комментарии к задачам о возмущениях линейного уравнения малым линейным слагаемым и спектральных характеристик фредгольмого оператора // Журнал Средневолжского математического общества. 2013. Т. 15, № 3. С. 100–107.
- 4. Кяшкин А. А., Логинов Б. В., Шаманаев П. А. Комментарии к задаче о ветвлении периодических решений при бифуркации Андронова-Хопфа в дифференциальных уравнениях с вырожденным оператором при производной // Журнал Средневолжского математического общества. 2014. Т. 16, № 4. С. 33–40.
- 5. Кяшкин А. А., Логинов Б. В., Шаманаев П. А. О ветвлении периодических решений линейных неоднородных дифференциальных уравнений с вырожденным или тождественным оператором при производной и возмущением в виде малого линейного слагаемого // Журнал Средневолжского математического общества. 2016. Т. 18, № 1. С. 45—53.
- 6. Кадрякова М. Р., Логинов Б. В., Шаманаев П. А. О периодических решениях одного класса линейных неоднородных систем обыкновенных дифференциальных уравнений с малым параметром в резонансном случае [Электронный ресурс] // Огарев-online. 2017. №13. Режим доступа: http://journal.mrsu.ru/arts/o-periodicheskix-resheniyax-odnogo-klassa-linejnyx-neodnorodnyx-sistem-obyknovennyx-differencialnyx-uravnenij-s-malym-parametrom-v-rezonansnom-sluchae (дата обращения 12.09.2020).
- 7. Стрелков С. П. Введение в теорию колебаний: Учебник. 3-е изд., испр. СПб.: Лань, 2005.-440 с.